

Дальние и Сверхдальние Приборные Взаимодействия

Сергей Кернбах¹, Виталий Замша²

¹*serge.kernbach@yahoo.com*

²*spin.com@indiatimes.com*

предварительная версия, 29 сентября 2012 г.

Аннотация

Данная работа описывает проведенные эксперименты по дальним и сверхдальним взаимодействиям. Были проведены несколько групп экспериментов типа прибор-прибор и оператор-прибор на расстоянии >1 км, >100 км, >1000 км и >10000 км. Для экспериментов были в основном использованы сенсоры на основе двойных электрических слоев и светодиодные генераторы, однако также использовались детектор ИГА-1 и оптоволоконные генераторы. Анализируется конструкция приборов, адресация воздействия и возникающие при этом эффекты. Делается предположение об общем характере приборных и операторных воздействий. Данная методика может рассматриваться, с одной стороны, как основа для создания нового поколения коммуникационных систем, с другой стороны, как система развития экстрасенсорных способностей с обратной связью, т.е. с объективным откликом от приборов.

1 Введение

Эта работа завершает серию экспериментов, начатых в [1], [2] и [3], и посвященных взаимодействиям между светодиодным/лазерным излучателем и датчиком на двойных электрических слоях (детектор Боброва). Были показаны эффекты, которые могут быть приписаны высокопропускающему излучению неэлектромагнитной природы, генерированным светодиодами, работающими в нестандартном режиме большого прямого напряжения. В частности, было продемонстрировано детектирование работы излучателя (в дальнейшем генератора) на расстояниях от 0.25 до 50 метров в лабораторных условиях и 1.65 км в полевых условиях. Более того, эксперименты показали, что структуризация диполей воды под воздействием излучения сохраняется в течении нескольких дней, т.е. вода способна 'запоминать' воздействие генератора. На 'активированную'

таким образом воду реагировали сенсоры в течении 72 часов после 'активации'. Всего было произведено более 900 замеров в этих экспериментах.

Механизм взаимодействия светодиодного/лазерного излучения и глаубоко-поляризованных электродов не полностью изучен на данный момент. Существует предположение, что диффузионный слой Гуи-Чепмена, например [4], [5], чувствителен к факторам, поляризующим диполи воды. Соответствующие электрокинетические явления описываются моделью Гуи-Чепмена-Штерна, например [5], [4]. Пространственная поляризация диполей воды исследовалось в ряде работ [6], [7], [5]. Поскольку поляризация диполей изменяет диэлектрические свойства системы, то степень поляризации, а значит и само воздействие, можно измерять посредством слабого постоянного тока, протекающего в через электроды и воду, используя двух или четырех электродные кондуктометрические схемы, см. например [8], [9], [10], [11].

Как в исходных работах [12], [13], также как и в [1], [2], [3] были обнаружены эффекты, которые могут указывать на возможность нелокального воздействия на приборы. С одной стороны, эксперименты на расстоянии в 10, 15, 20, 50 и 1650 метров показали, что увеличение расстояния между генератором и сенсорами ведет к незначительному ухудшению соотношения сигнал-шум. Также уменьшение мощности излучателя на 50% не сказалось существенным образом на качестве принимаемого сигнала. С другой стороны, наблюдались эффекты, когда оператор путем ментальной концентрации в состоянии изменить ток протекающий через систему 'электроды-вода', находясь при этом на большом расстоянии от детектора. Таким образом, как 'прибор-прибор', так и 'оператор-прибор' подходы показали возможность нелокального взаимодействия. Поскольку одни и те же сенсоры применялись для детекции обоих типов воздействия, более того, реакция сенсоров является сходной в обоих случаях, предполагается, что психо-эмоциональные состояния операторов и неэлектромагнитные компоненты излучения генераторов имеют сходные механизмы воздействия на сенсоры.

В этой работе преследуются две основные задачи. Во-первых, продемонстрировать нелокальный эффект воздействия на расстоянии более 1 км, более 100 км и более 10000 км, обоих типов – прибор-прибор и оператор-прибор. При этом использовались два разных сенсора (датчик на ДЭС и прибор ИГА-1) и два разных генератора (светодиодный и оптоволоконный генераторы), чтобы продемонстрировать независимость феноменов от приборной реализации. Как сопутствующая ставится задача исследовать взаимодействие оператора и приборных генераторов с целью усиления или ослабления воздействия.

Во-вторых, на больших расстояниях, например в радиусе нескольких километров от сенсоров, присутствует большое количество излучателей, по своей природе сходных со светодиодным генератором. Это панельные телевизоры с активной светодиодной подсветкой, светодиодные ре-

кламные установки, электромагнитные устройства и т.д. Так же нужно отметить большое количество людей в различных эмоциональных состояниях, которые потенциально способны влиять на детектор. Поскольку в спокойном (без воздействий) состоянии сенсоры демонстрируют малое количество возмущений, то по всей видимости присутствует фактор адресации, который позволяет генератору избирательно воздействовать на сенсоры на большом расстоянии, однако блокирует другие сигналы. Исследованию эффекта избирательного воздействия было посвящено немало других работ, например [14], [15], это же также является второй целью этой работы.

При проведении психометрических экспериментов учитывался опыт различных групп по всему миру, см. например [16], [17], [18], [19] которые подчеркивали необходимость выбора операторов. Были контактированы несколько групп операторов, которые согласились участвовать в проведении экспериментов. С одной из таких групп сложилось многолетнее сотрудничество, которая указывает на то, что экстрасенсорные способности можно развивать соответствующими тренировками. Именно благодаря сотрудничеству с этой группой, данная методика может рассматриваться как система развития психических способностей с обратной связью, т.е. оператор имеет объективный отклик от приборов. Этой теме посвящена отдельная статья.

Из всех трех частей [1], [2] и [3], эта работа имеет наиболее спорный характер. Нелокальные взаимодействия, методы 'адресации' и использование психо-эмоциональных механизмов вызывают достаточное количество критики. Поэтому мы используем следующий подход. В первую очередь аккуратно регистрируются изменения токовых сенсоров, обращая внимание на то, чтобы они не были вызваны изменениями окружающей среды на стороне приемника: колебаниями температуры, ЭМ полей, механическими, оптическими или же акустическими факторами. Для каждого из этих факторов присутствуют один или несколько сенсоров разных типов, которые записывают данные, параллельно с токовыми кривыми. Во-вторых, показания сенсоров только тогда считаются положительными, если как минимум три из них зарегистрировали изменение в указанном временном окне. Из 6 или 9 сенсоров это соответствует 50% и 33% всех сенсоров. Как показали предыдущие эксперименты, нормальным уровнем реакции является 40%-45% сенсоров (в силу потери чувствительности после изменений). Каждый эксперимент повторяется как минимум четыре раза с 36 замерами. Изменения вне временного окна игнорируются как шум. В-третьих, мы не пытаемся дать никаких объяснений регистрируемым эффектам, как ввиду противоречивости имеющихся теорий, так и открытой дискуссии вокруг них.

Данная работа имеет следующую структуру: раздел 2 кратко описывает конструкцию приборов, методологические аспекты измерений и проведения экспериментов. Эксперименты типа прибор-прибор описаны

в разделе 3, типа оператор-прибор – в разделе 4. В заключении, раздел 5 делает некоторые выводы и обобщает эту работу.

2 Краткое описание приборов и методологии эксперимента

В этой работе использовались два разных сенсора (датчик на ДЭС и прибор ИГА-1) и два разных генератора (светодиодный и оптоволоконный генераторы). Поскольку большинство экспериментов были выполнены с применением датчика на ДЭС и светодиодных генераторов, эти приборы коротко описаны здесь. Подробное описание детекторов, светодиодного генератора и общей методологии экспериментов дано в [1]. Описание других приборов коротко дано в соответствующих разделах.

2.1 Датчик на ДЭС

Вкратце, сенсоры представляют собой металлические сосуды из стекла (установки номер три и пять) и нержавеющей стали (установка номер три) с несколькими стальными или платиновыми электродами, погруженными в би-дистиллированную воду, см рисунок 1. Все сосуды по-

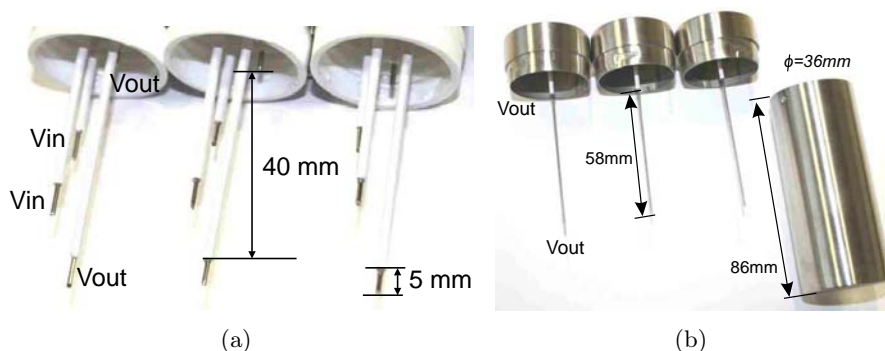


Рис. 1: (a) Электроды в установке номер три; (b) Электроды в установке номер четыре, фотографии взяты из [1].

мещены в несколько изолирующих корпусов, выполненных из латуни. Пространство между корпусами заполнено натуральной шерстью для теплоизоляции. Было изготовлено 9 сенсоров, по три каждого типа, которые были объединены в три установки, см. рисунок 2. Электроды сенсоров соединены экранирующим проводом с микроконтроллером PSoC (программируемая система на чипе серии CY8C5588AXI-060), который осуществляет сбор данных с токовых электродов, восьми температурных датчиков, трех акселерометров и одного детектора электромагнитных и магнитных полей (ME 3951A производства 'Gigahertz Solutions' в диапа-



Рис. 2: Фотография установок три, четыре и пять.

зоне 5Гц-400кГц) и производит их обработку. В помощью USB интерфейса микроконтроллер соединен с компьютером, который записывает данные на жесткий диск. Считывание данных происходит удаленно через интернет, т.е. оператор не входит в лабораторию с экспериментом. Все установки тщательно экранированы от ЭМ излучения и температурных колебаний и закрыты в металлическом шкафу сделанном из 3х мм стали с закрывающейся дверью, см. рисунок 3.

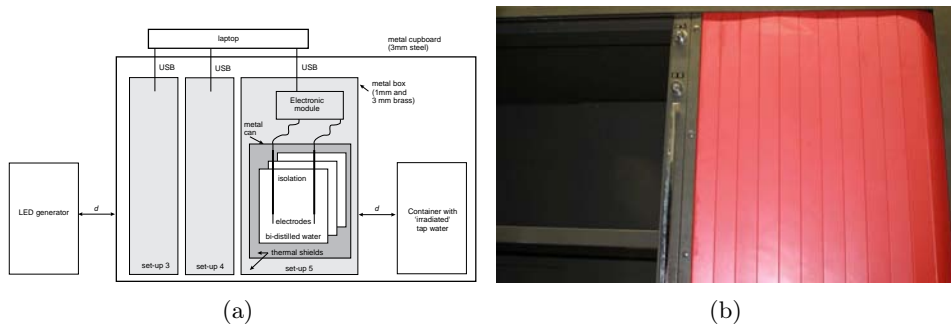


Рис. 3: (а) Общая структура всех приборов, рисунок взят из [1]; (б) Фотография металлического шкафа в котором содержатся все установки.

Лаборатория (лаборатория 'В') в которой находятся сенсоры расположена в подвальном помещении с толстыми железобетонными стенами без окон и с одной металлической дверью. Размер лаборатории порядка 6 × 4 метра, шкаф находится в углу лаборатории и граничит с обеих сторон с коридором, см. схему на рисунке 4(а). Фотография здания приведена на рисунке 4(б).

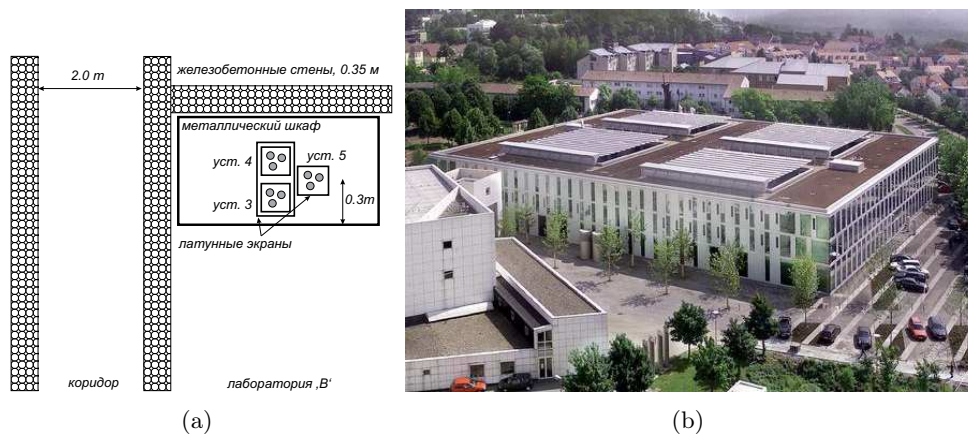


Рис. 4: (а) Структура лаборатории 'В'; (б) Фотография здания, где расположена лаборатория.

В экспериментах участвуют все три установки с 9 детекторами работающими параллельно. Помимо токовых значений, измеряются также значения температуры в 8 местах с разрешениям $< 0.01\text{C}$, вибрации в трех местах, питающего напряжения во всех установках. Всего записывается 25 каналов данных с частотой дискретизации 1Гц, используется 20 битный АЦП. Все значения помечены маркером времени. Запись производится непрерывно без включения или выключения детекторов.

Для анализа воздействия рассматриваются значения детекторов порядка 2х часов до начала эксперимента, во время эксперимента и 2х-3х часов после эксперимента. Операторы описывали свои ощущения и те ментальные конструкции, которые они использовали во время операции. Фотографии были сделаны цифровой камерой и отпечатаны на цветной фотобумаге или же на черно-белом лазерном принтере.

2.2 Светодиодные генераторы

В качестве генератора в этой работе использовались в основном светодиодные генераторы, показанные на рисунке 5. Для светодиодного генератора использовались 169 голубых (470nm) светодиодов LC503FBL1-15Q-A3 интенсивностью 11cd и углом открытия 15 градусов. Светодиоды были размещены на площади $120 \times 120\text{mm}^2$, см. рисунок 5(с) в стандартных корпусах, допускающих соединение нескольких генераторов в один излучатель. Для полиспектрального генератора использовались четыре цвета. Все генераторы имеют 8 полей, которые допускают независимую частотную модуляцию сигнала, т.е. можно получить 8 разных частот излучения в 4х цветовых спектрах. Светодиоды работают в нестандартном режиме 48 вольт прямого напряжения с первичной и вторичной модуляцией.

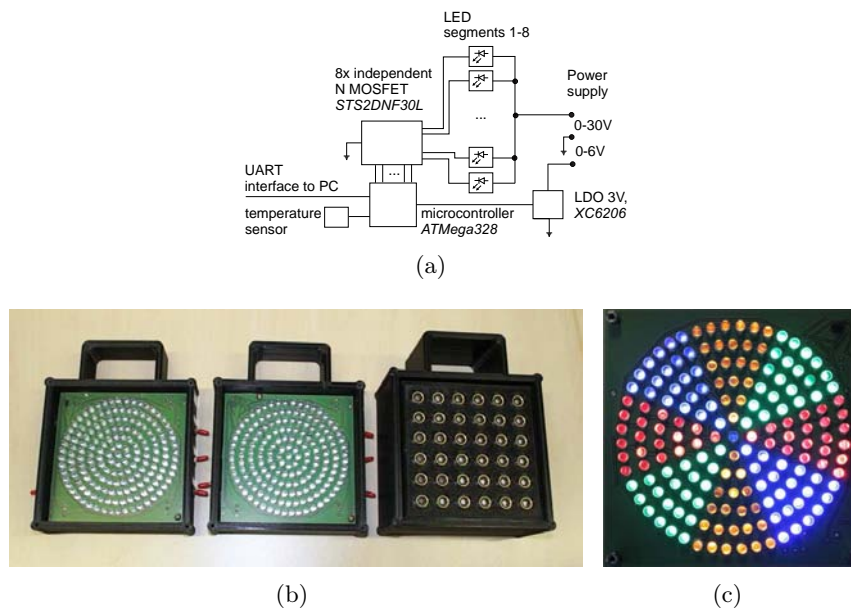


Рис. 5: (а) структура и (б) общий вид светодиодного и лазерного излучателей со снятой фронтальной крышкой, (с) полиспектральный светодиодный генератор.

2.3 Предварительные эксперименты с индуктивными датчиками

Были исследованы некоторые датчики по детектированию неэлектромагнитных полей. Один из них основан на изменении электрических свойств материалов, например, изменение магнитной проницаемости ферритов. Принцип работы основан на конструктивных принципах магнитоферритовых датчиков известного Российского исследователя В.Т. Шкаптова (Томск). Описанный ниже датчик был значительно изменен как в плане конструкции, так и в выборе примененных элементов.

Нужно уточнить, что чувствительность таких датчиков зависит от подмагничивания ферритового сердечника. Было выявлено экспериментально, что для повышения чувствительности таких датчиков надо уменьшить относительную проницаемость этих ферритов примерно на одну треть. При этом резко возрастает чувствительность катушки с таким сердечником к внешним магнитным полям, а также дает возможность использования их и для детектирования неэлектромагнитных полей. Такой вариант катушки с ферритом можно также использовать в магнетрометрах и других приборах, таких как, например, магнитный компас.

Для практической реализации такого детектора были использованы готовые малогабаритные дроссели с общей индуктивностью 4 мГ и два дископодобных магнита диаметром порядка 2 сантиметра. Следует за-

метить, что для такого датчика надо применять дроссели на основе феррита с большой начальной магнитной проницаемостью – порядка $5000+$ – $10000+$. На рисунке 6 показан общий вид этого датчика.

Как видно из рисунка, сам дроссель располагается в короткой пластиковой трубке а по обеим сторонам от него были вставлены два дисковых магнита таким образом, чтобы общая индуктивность такой системы была в пределах от 2.8мГ до 3мГ .

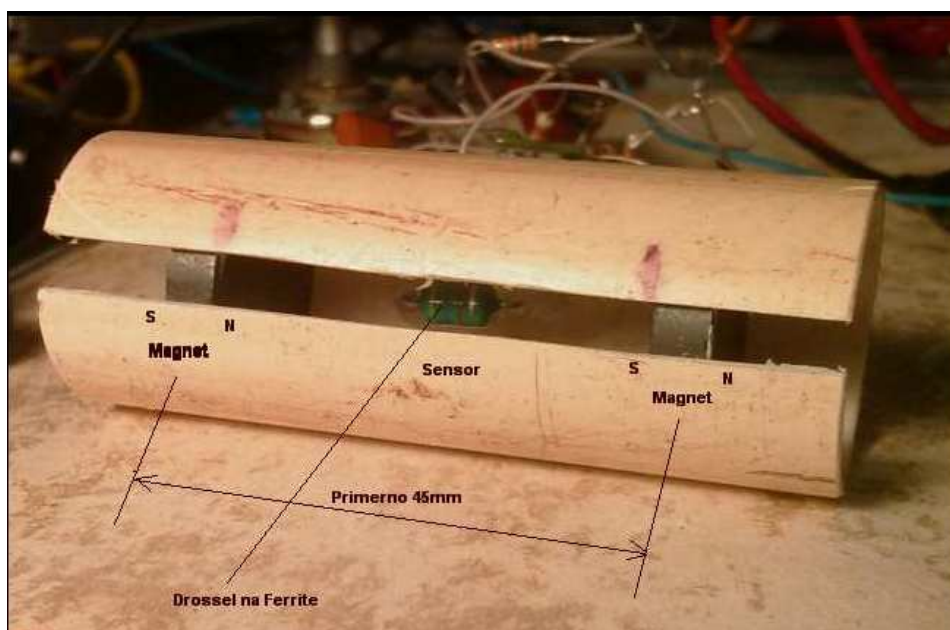


Рис. 6: Общий вид индуктивного датчика.

Эта конструкция (концы дросселя) подключалась к схеме стандартного генератора собранного на транзисторе BC547. Этот генератор генерировал примерно на частотах $150 - 200\text{КГц}$ и выходную частоту контролировалась частотомером с разрешением 1Гц . Надо сказать что генератор нуждается в стабильном температурном режиме, иначе наблюдается значительный уход частоты. Такой датчик хорошо 'чувствует' приближение человека уже на расстоянии в несколько метров.

Для более удобного использования такого датчика как прибора по измерению неэлектромагнитных полей желательно сделать его в виде небольшого компактного частотомера на основе Atmel микроконтроллера с разрешением 1Гц и с возможностью полного сброса показаний перед каждым замером. Так как величины изменения частоты генератора датчика находятся в пределах не более 20Гц , то нет смысла отображать весь спектр частот на индикаторе, а только максимум три или даже два (младших) знака, т.е. до предела до 999Гц или даже максимум до 99Гц . Для более наглядной картины измерений, можно записывать

величину и знак отклонения частоты в память процессора синхронно по 1 секунде для дальнейшего анализа поведения результата измерений и выводить на обычный последовательный интерфейс для дальнейшего графического отображения результатов измерений на компьютере. Длительность одного замера должна быть в пределах от 5ти до 10и секунд.

Также были опробованы другие варианты детекторов – на основе конденсаторов, сегнетоэлектриков и даже жидко-кристаллических структур. Все эти датчики основаны на изменении свойств материалов датчика, таких как магнитная или диэлектрическая проницаемость. К сожалению, данные сенсоры обладают малым быстродействием, поскольку эти свойства вещества меняются довольно медленно. Поэтому в настоящее время работы по поиску датчиков продолжают с упором на быстродействие – например по изменению поляризации фотонов или на основе изменения поляризации электронов.

2.4 Гипотезы об адресации воздействия

Для адресации воздействия на большом расстоянии мы опирались на так называемый феномен близнецов, широко описанный в научной литературе, например [20], [21]. Этот феномен заключается в том, что близнецы после рождения продолжают неким образом быть связанными, например, чувствуют эмоции друг друга. Не только люди, но и животные обладают этим свойством, как пример можно привести классический опыт Перова с кроликами-близнецами [14]. Было допущено два обобщения из феномена близнецов, которые и будут предметом экспериментальной проверки: **(а)** объекты, бывшие некогда одним целым, после разделения также продолжают иметь связь с друг другом; **(б)** отображения предметов, например фотографии, также могут содержать механизм адресации.

В частности, с фотографиями были испробованы два разных метода: только одна фотография приемника используется в передатчике и метод Шкатова-Замши – две фотографии, и приемника и передатчика, были использованы в различных комбинациях для исследования механизма адресации.

3 Обзор экспериментов типа 'прибор-прибор'

В этих экспериментах генераторы и сенсоры находились на расстоянии 1.65 км (Штутгарт-Штутгарт), 360 км (Штутгарт-Халле), 2068 км (Штутгарт-Москва), 3227 км (Штутгарт-Уфа) и 13798 км (Штутгарт-Перт, Западная Австралия). Были проведены три серии экспериментов: **(1)** периодическое включение генераторов без какой либо адресации, **(2)** периодическое включение генераторов с адресацией и **(3)** включение ге-

нераторов с ментальной модуляцией оператором. Результаты этих экспериментов собраны в таблице 1.

Таблица 1: Результаты приборных экспериментов, экспозиция – время на которое были включены генераторы.

<i>N</i>	рас- стояние, км	экспо- зиция, мин	адреса- ция	менталь- ное воздей- ствие	всего экспе- римен- тов	всего сенсо- ров	всего реак- ции T2	отсут- ствие реак- ции	приме- чания
C232	1.65	60	нет	нет	1	9	4	5	0 часов ¹
C236	1.65	60	нет	нет	2	18	8	10	24 часа
C241	1.65	60	нет	нет	4	36	12	24	144 часа
C254	1.65	60	нет	нет	3	27	4	23	552 часа, негативно
C234	1.65	30	да ²	нет	3	27	6	20	
C235c	1.65	60	да	нет	1	9	5	4	
C237 b,c	1.65	60	да	нет	2	18	4	14	
C238	1.65	60	да, 2х ³	нет	2	18	9	9	
C255	360	60	да, 2х	нет	2	18	8	10	
C256	2068	60	да, 2х	нет	1	9	4	5	
C258	2068	60	да, 2х	нет	2	18	2	16	негативно
C258	2068	60	да, 2х	нет	2	18	2	16	негативно
C259	2068	60	да, 2х	нет	1	9	4	5	
C260	2068	60	да, 2х	нет	1	9	6	3	
05.09.12	3227	60	да, 2х	нет	1	1	1	0	
10.09.12	3227	60	да, 2х	нет	2	2	0	2	негативно
11.09.12	3227	60	да, 2х	нет	2	2	0	2	негативно
13.09.12	3227	60	да, 2х	нет	2	2	0	2	негативно
26.09.12	3227	60	да, 2х	нет	1	1	1	0	
27.09.12	3227	60	да, 2х	нет	2	2	2	0	
C239	13798	60	да, 2х	нет	2	18	10	8	
C240	13798	60	да, 2х	нет	2	18	10	8	
C233	1.65	30	да	да	1	9	1 ⁴	8	негативно
C235 a,b,d	1.65	60	да	да	3	27	12	15	
C237a	1.65	60	да	да	1	9	4	5	
C244	1.65	60	да	да	1	9	5	4	
всего									

¹ После переноса генераторов на новое место.

² В качестве адресации использовался метод одной фотографии.

³ Две фотографии по методу Шкатова-Замши.

⁴ Три других сенсора показали реакцию в пределах ± 30 минут за рамками эксперимента.

3.1 Расстояние в 1.65 км

Для проведения этих экспериментов, генераторы были перенесены на расстояние в 1.65 км и установлены в подвале здания. Горизонтальный азимут на сенсоры выставлялся с помощью карты и цифрового компаса, вертикальный азимут сохранялся посредством вычисления разницы в высоте местности. По оценке, горизонтальный и вертикальный азимут на сенсоры выдерживался в пределе $\pm 25^\circ$.

Приборные взаимодействия на расстоянии 1.65 км без адресации. Были проведены 4 разных эксперимента: сразу после переноса генератора, спустя 24 часа, спустя 144 часа и спустя 552 часа. Всего было произведено 90 замеров. Генераторы в экспериментах C232 были перевезены на новое место и сразу включены, до этого они находились на расстоянии 10 метров в предыдущих экспериментах. В C232 были произведены два замера (a) и (b), однако замер (a) был забракован из-за небольших колебаний температуры в тот момент. Эксперимент C236 был сделан 24 часа позже. Некоторые графики токовых кривых показаны на рисунке 7. Мы не можем найти существенных различий в показаниях

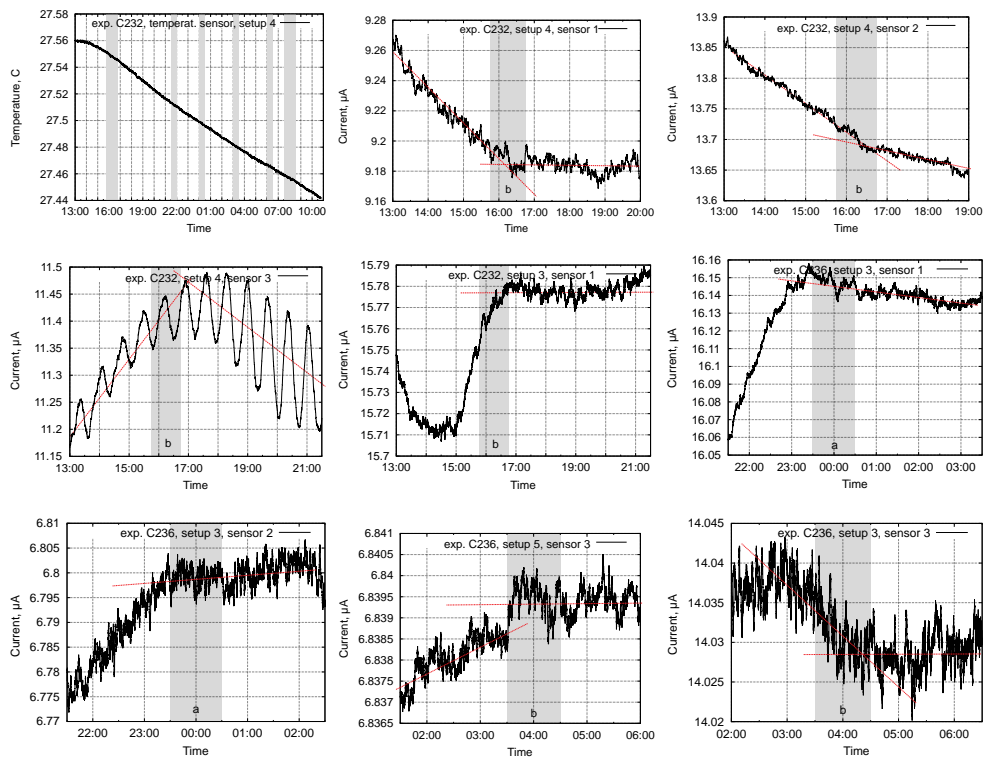


Рис. 7: Результаты некоторых замеров в экспериментах C232 и C236 на расстоянии 1.65 км между генераторами и сенсорами в пределах 24 часов после переноса генераторов на новое место.

сенсоров, полученных на дистанции 10, 20, 50 (см. работу [2]) или 1650 метров в пределах 24 часов после переноса. На рисунке 8 показана модуляция сигнала работающим генератором. В целом порядка 40%-45% сенсоров показали реакцию.

В эксперименте C241 144 часа спустя, мы наблюдаем гораздо более слабый отклик, 12 из 36 сенсоров, т.е. только 33%. В эксперименте C254 552 часа спустя имелся отклик только от 4 сенсоров из 27, т.е. 15%, см. рисунок 9. Согласно выбранной методике, результаты этого эксперимен-

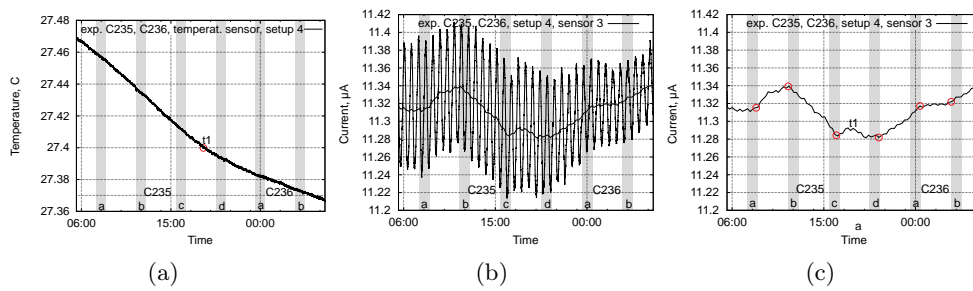


Рис. 8: Эксперименты C235-C236 на расстоянии 1.65 км между генераторами и сенсорами в пределах 24 часов поле переноса. Отчетливо видна модуляция принимаемого сигнала.

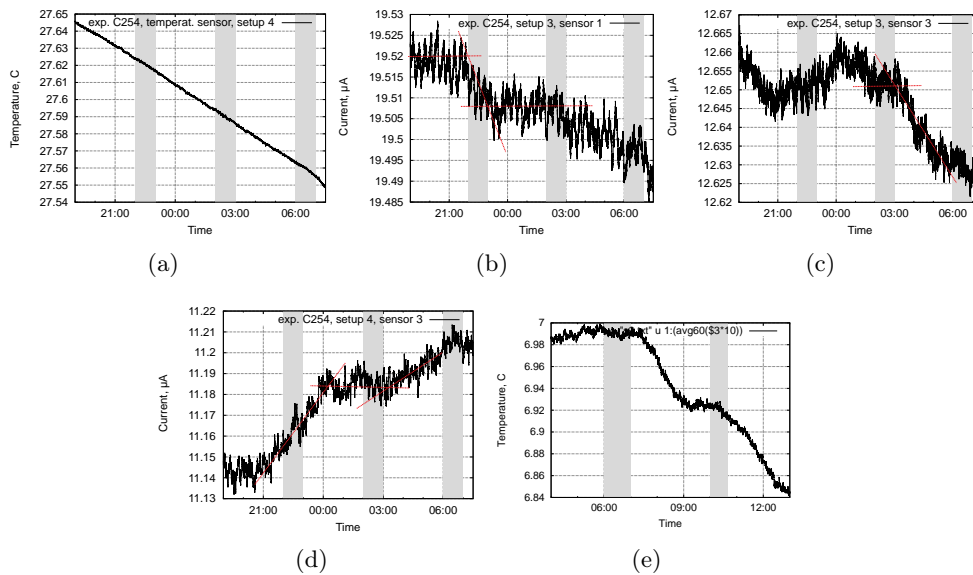


Рис. 9: Эксперименты C254 на расстоянии 1.65 км между генераторами и сенсорами 23 дня после переноса приборов.

та считаются отрицательными.

Приборные взаимодействия с адресацией. В экспериментах C234, C235с и C237b,c адресация была проведена с помощью одной фотографии. Сенсоры были сфотографированы цифровой камерой и цветная фотография на фотобумаге была помещена перед генераторами. Время экспозиции экспериментов C234 было сокращено до 30 минут. По всей видимости это время является недостаточным и мы не зарегистрировали существенных изменений. В C235с и C237b,c время экспозиции составляло 60 минут. В эксперименте 238 были применены две фотографии, одна перед генератором, вторая под сенсорами. Сравнивая эксперимент с одной и с двумя фотографиями, нужно отметить более сильную реакцию

сенсоров на две фотографии.

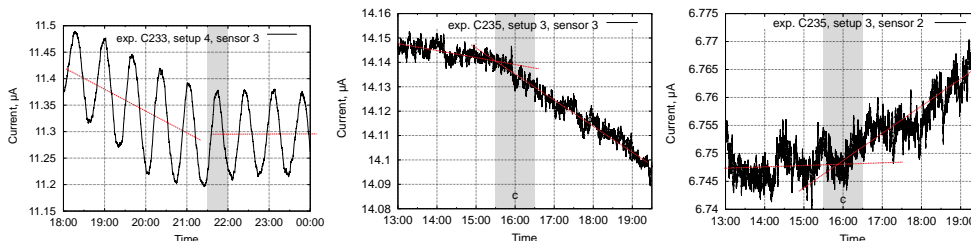


Рис. 10: Эксперимент C233 и C235c с адресацией по одной фотографии.

Приборные и операторные взаимодействия Были произведены также 4 эксперимента с 36 замерами когда оператор и генератор из группы chaosWatcher, см. раздел 4.1, одновременно взаимодействовали с сенсорами. В C233 оператор в течении 30 минут концентрировался на сенсорах. Мы отмечали реакцию нескольких сенсоров за 20-30 минут до начала эксперимента, однако следуя традиции предыдущих экспериментов, эти результаты не рассматривались. В C235a,b,c длительность воздействия прибора было 60 минут, однако оператор концентрировался только 30-40 минут. Сравнивая эти результаты мы также не можем обнаружить существенную разницу с предыдущими экспериментами. Однако эксперимент C235d является исключением. Здесь был зарегистрирован резкий скачок тока, см. рисунок 11. Как правило, подобные резкие

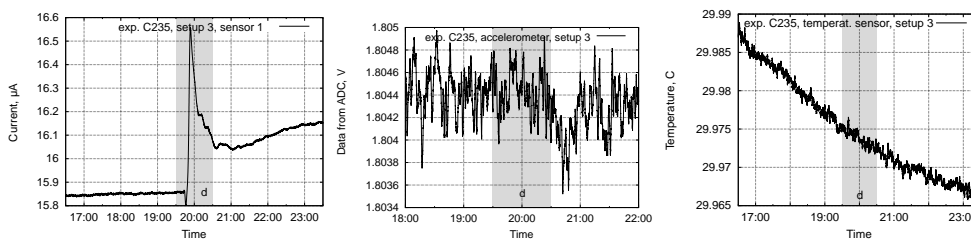


Рис. 11: Эксперимент C235d с участием оператора, (а) показания токового сенсора, (б) показания акселерометра, (с) показания температурного сенсора.

скачки соизмеримы с механическим воздействием на сенсор, который изменяет структуру кластеров диполей в приэлектродном слое. Однако акселерометр не отметил никаких механических воздействий, также и другие сенсоры не показали резких скачков. Также весьма характерно, что оператор начал воздействие на 20 минут позже, чем генератор и закончил также на 15 минут раньше. Большой скачек приходится как раз на это время. Поэтому вы однозначно относим этот результат к психокинетическим. Подобные скачки регистрировались также в экспериментах только с одним оператором (т.е. без приборов). В эксперименте C244,

прибор был направлен вверх, оператор находился на расстоянии вытянутой руки от него. Как указывал оператор, у него 'жгло' весь следующий день на стороне обращенной к генератору. В этом эксперименте, мы также отмечаем реакции как непосредственно в течении эксперимента, так и после этого через два часа практически во многих сенсорах.

3.2 Расстояние в 360 км

Этот эксперимент был проведен 3.09.12 в г. Халле, Германия. Расстояние между сенсорами и генератором составляло 360 км согласно google map. В качестве адресации взаимодействия был выбран метод двух фотографий Шкатова-Замши. Поскольку имелась только одна ночь для этого

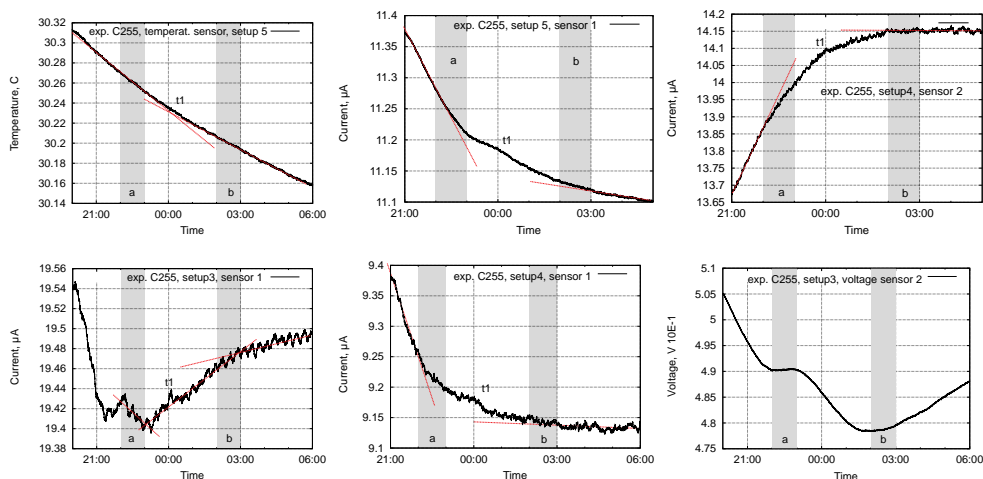


Рис. 12: Эксперимент C255 на расстоянии 360 км между Штутгартom и Халле

эксперимента, генераторы были включены первый раз в 22.00 в обычном режиме: 1 час работа, 3 часа пауза. Из-за столь раннего включения, был риск фальсификации результата из-за вечерних и утренних колебаний температуры. Утренний замер 6.00-7.00 пришлось по этой причине отбросить. Более того, около 0.00 наблюдалось изменение градиента температуры, почти все токовые кривые отметили это, см. рисунок 12. В целом в этом эксперименте было зарегистрировано 8 из 18 откликов сенсоров.

3.3 Расстояние в 2068 км

Эти эксперименты были проведены 14-18 сентября 2012 года во время конференции "Торсионные поля и информационные взаимодействия 2012" в Москве. Расстояние между Штутгартom и Москвой составляет порядка 2068 км согласно google map. Все настройки соответствовали

предыдущему эксперименту, за ночь генераторы включались два раза на час, с интервалом в три часа. Разница во времени составляла 2 часа. Из-за этого, первое включение приходилось на время от 22.00 до 24.00 в Штутгарте с вечерними изменениями температуры. Поскольку результаты экспериментов с изменениями температуры игнорировались, получалось так, что было только одно включение за ночь. Нужно также отметить, что 16 сентября было новолуние.

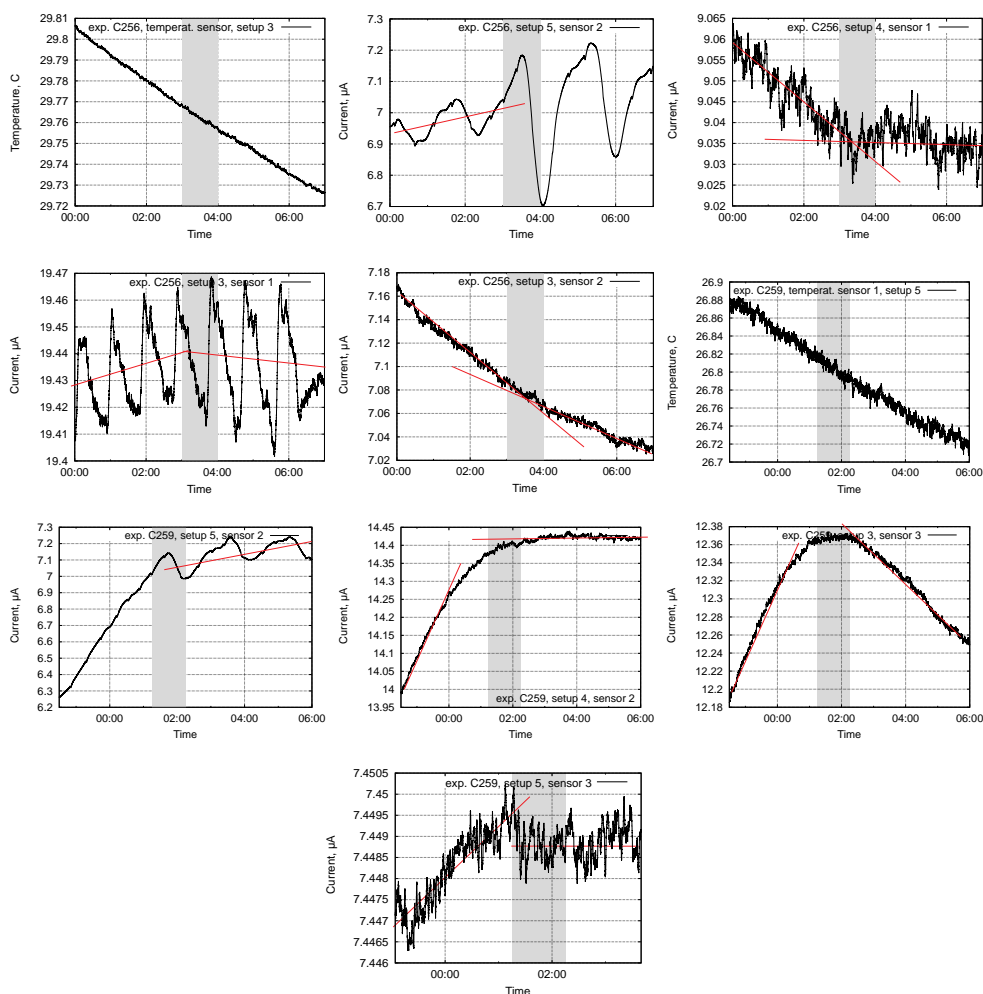


Рис. 13: Эксперимент C256, C259 на расстоянии 2068 км между Штутгартом и Москвой

Первый эксперимент C256 14 сентября показал обычный для приборов отклик порядка 45%, см. рисунок 13. Также заключительные эксперименты C259 и C260 проведенные 18 и 19 сентября были успешные, см. рисунок 13.

Однако в экспериментах C257, C258 проведенных 15 и 16 сентября,

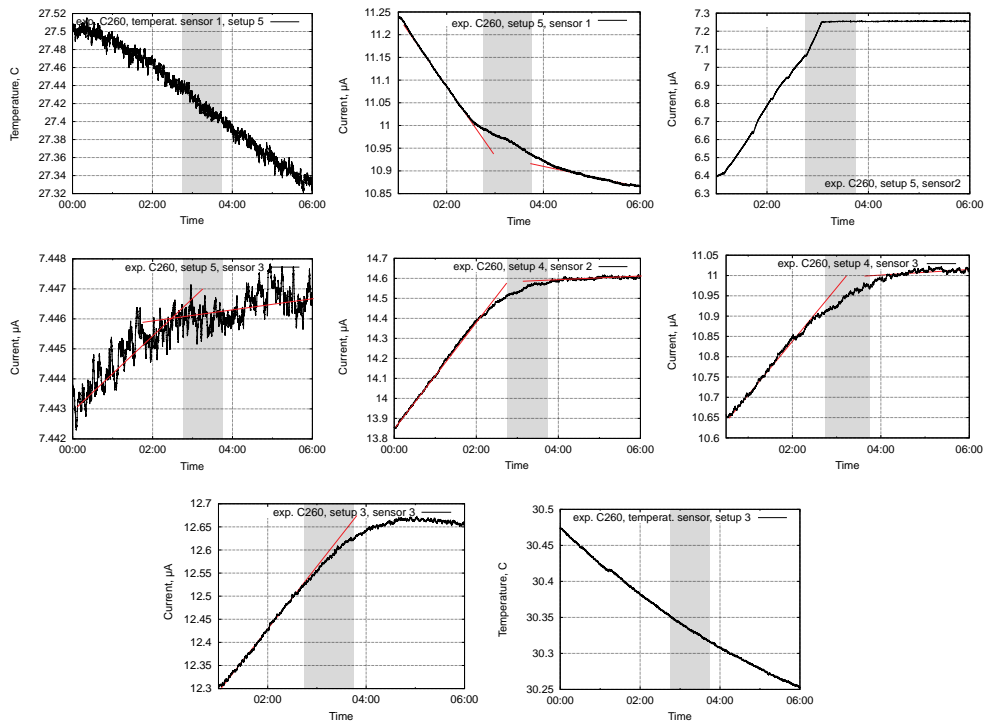


Рис. 14: Эксперимент С260 на расстоянии 2068 км между Штутгартом и Москвой

мы не можем зафиксировать реакции сенсоров. На эти дни приходится период новолуния. Поскольку условия экспериментов не изменялись во всей серии С256-С260, то пока нет иного объяснения почему первые и последние эксперименты были удачными, а промежуточные нет.

3.4 Расстояние в 3227 км

Эти эксперименты проводились между Штутгартом и Уфой. В них принимал участие Юрий Кравченко¹. В Уфе располагалась принимающая сторона на основе стационарного прибора ИГА-1. В Штутгарте была расположена передающая сторона на основе двух светодиодных генераторов, см. рисунок 15. Для адресации использовался метод Шкатова-Замши. Были проведены три серии экспериментов: а) контрольные замеры по постоянному и переменному току, б) эксперименты до 14.09.12 и с) эксперименты после 20.09.12. В б) использовались два генератора синего цвета с питанием от сети, в с) использовался дополнительно полиспектральный генератор, обладающий различным спектром изучения и различными частотами модуляции. В этих экспериментах генераторы работали от батарей.

¹Email: astra.47@mail.ru

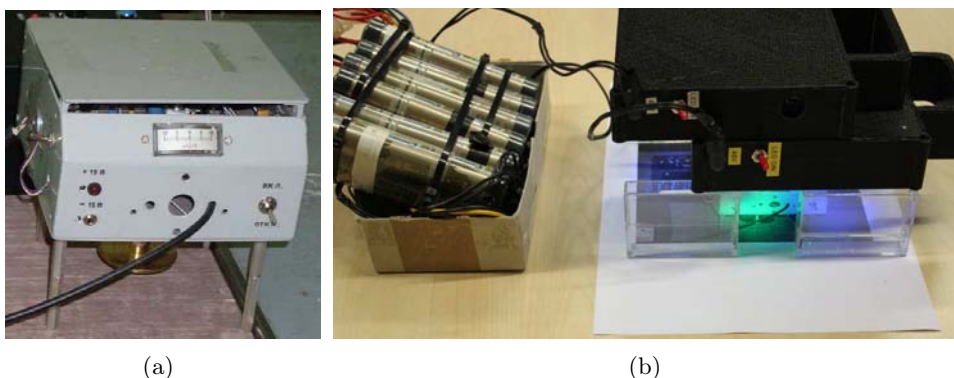


Рис. 15: (а) Стационарный прибор ИГА-1, используемый как приемник; (б) Два светодиодных генератора с питанием от аккумуляторов, используемые как передатчики, снизу видна фотография стационарного ИГА-1.

Обзор всех экспериментов дан в Таблице 1. Контрольные замеры по постоянному току были произведены несколько раз, например 19.01.12, 18.06.12, 04.09.12 и по переменному – 12.09.12, см. рисунок 16. Прибор в

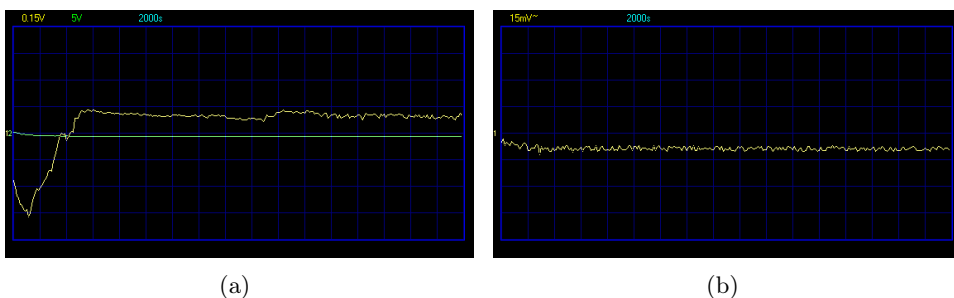


Рис. 16: Контрольные измерения фона стационарным прибором ИГА-1: (а) 18.06.12; (б) 12.09.12

целом характеризуется ровной кривой выходного напряжения, если нет воздействий. Было замечено, что в том месте, где находится ИГА-1, в первые два часа после включения продолжают работать некие агрегаты, которые влияют на показания прибора. Поэтому все воздействия были смещены как минимум на три часа после включения ИГА-1. Всего ИГА-1 позволяет записывать данные за 9 часов, таким образом можно было проводить 1-2 воздействия за ночь. В силу производственных причин, можно было проводить эксперименты по ночам, только с понедельника по четверг.

Первый сеанс состоялся 5.09.12. Генераторы были включены в 14.11 и 18.11 Штутгартского времени. Первое включение пришлось на 'запретную' двух часовую зону и было игнорировано. Однако во время второго включения наблюдается небольшой всплеск напряжения на приборе, ко-

торый возникает почти одновременно с включением генератора и длится несколько дольше после выключения, см. рисунок 17. В трех последу-

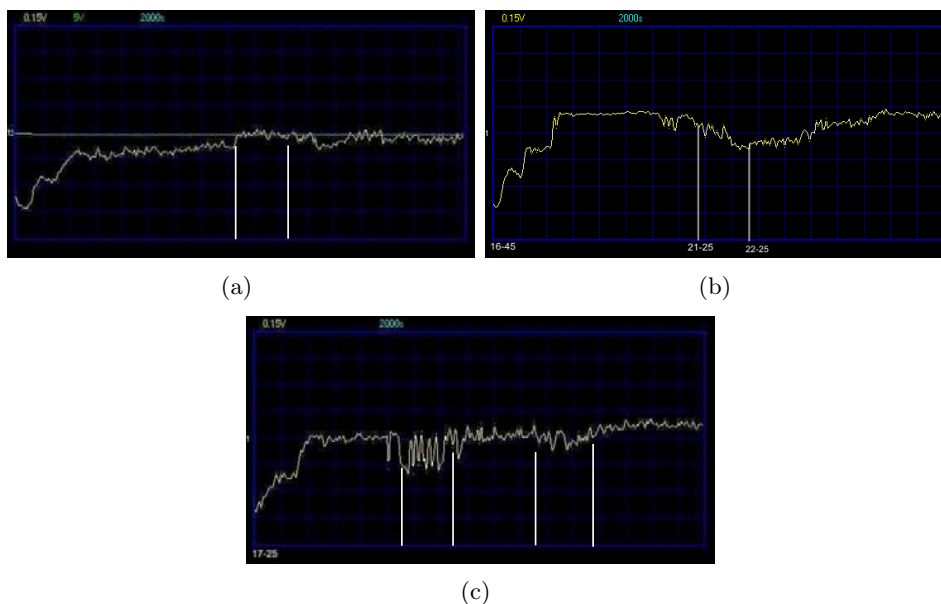


Рис. 17: Эксперименты (a) 05.09.12, (b) 26.09.12, (c) 27.09.12 на расстоянии 3227 км между Штутгартом и Уфой, каждое деление соответствует 32 минутам.

ющих экспериментах 10.09.12, 11.09.12 и 13.09.12 (12.09.12 были произведены фоновые измерения) прибор не показал видимых изменений во время включения и выключения генераторов. Следующая серия экспериментов было проведена 26.09.12 и 27.09.12. Здесь также отмечаются изменения сигнала относительно фона, которые начинаются примерно во время включения генераторов в Штутгарте и затухают после отключения генераторов. Нужно отметить, что технология работы с ИГА-1 в режиме записи нуждается в улучшении, например необходимо ввести точные маркеры времени и увеличение разрешения по оси напряжения. Однако эти эксперименты очень интересны тем, что несмотря на то, что датчик прибора основан на другом принципе, чем датчики на ДЭС, мы все равно получаем отклик ИГА-1 при удаленном воздействии на него. Это указывает на некий общий принцип взаимодействия между приборами, который не зависит от аппаратной реализации.

3.5 Расстояние в 13798 км

В сверхдальних приборных взаимодействиях принимал участие Виталий Замша² из города Перт, Западная Австралия. Расстояние между Штут-

²Email: spincom@indiatimes.com

гартом и Пертом составляет 13798 км согласно google map. Исследователи в Австралии использовали два разных генератора: первый (цилиндрический) был включен с 1.00 до 2.00, второй (конусный) с 5.00 до 6.00 западно-европейского времени 16 и 17 августа. Описание используемых



Рис. 18: Цилиндрический оптический генератор.

генераторов можно найти в [22]. Потребляемая электрическая мощность генератора – 30 mW, излучаемая оптическая – 1 mW. Использовался метод Шкатова-Замши для адресации воздействия: первая фотография была положена сверху на генераторы в Перте, вторая фотография была приклеена снизу под сенсорами в Штутгарте. Было прослежено, чтобы существовали только эти две фотографии сенсоров, снятые на цифровую камеру и распечатанные на черно-белом лазерном принтере. Фотография в Перте была уничтожена сразу же после воздействия оба раза. Для эксперимента 17 августа обе фотографии были распечатаны заново.

Всего было произведено 4 эксперимента с 36 замерами: два эксперимента C239a и C239b происходили 16 августа 2012 года, и вторые два C240a и C240b – 17 августа 2012 года.

Значения температурного сенсора, опорного напряжения PSoC чипа и акселерометра показаны для всех экспериментов на рисунке 19. Как мы видим, температурные, механические и электрические помехи отсутствуют, т.е. условия этих экспериментов соответствуют другим экспериментам этой работы. На рисунке 20 показаны значения сенсоров наиболее четко отреагировавших на оба воздействия в экспериментах C239 и C240. Мы наблюдаем отчетливые изменения тренда во время воздействия. Для общей оценки эксперимента и согласно выбранной методики оценки воздействий, мы выбираем три лучших отклика для C239a,b и C240a,b, показанные на рисунке 21. В целом, из 36 сенсоров показали отклик 20 сенсоров, что лежит в пределах 50% реакций для этого типа

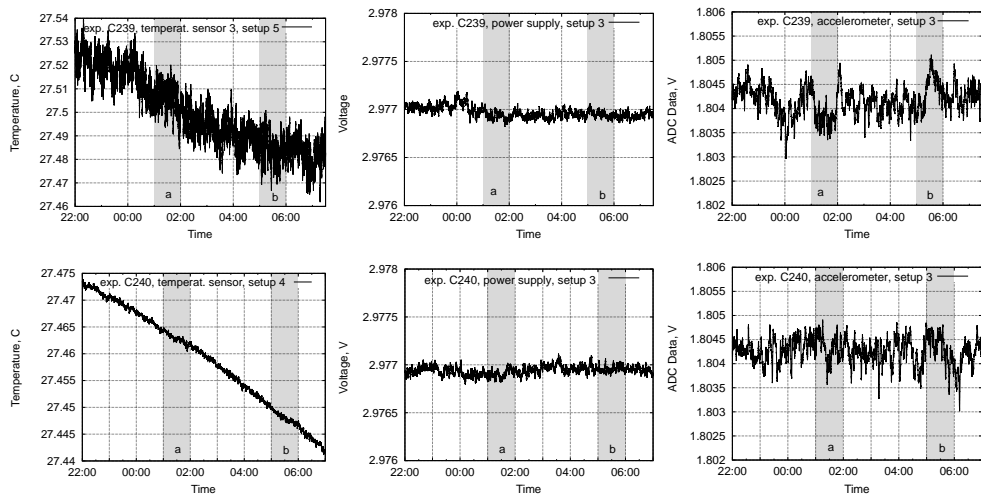


Рис. 19: Условия экспериментов C239 и C240.

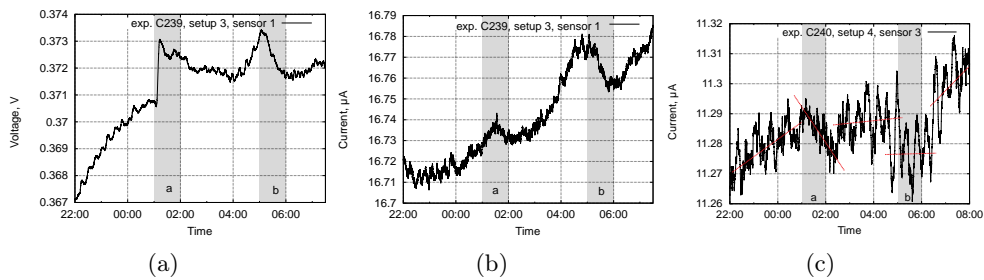


Рис. 20: Показания сенсоров отреагировавших на воздействия *a* и *b* в экспериментах C239 и C240. Четырех-электродный сенсор S1 третьей установки: (а) показания вольтового сенсора; (б) показания токового сенсора; (с) третий токовый сенсор установки номер четыре.

датчиков. На основании этих результатов, мы можем утверждать о положительном результате всех экспериментов, т.е. успешном детектировании сенсорами находящимися в Германии воздействия генератора, с мощностью оптического излучения 1 mW, находящегося в Австралии.

Из аномальных показаний, мы обнаружили показания некоторых температурных и токовых сенсоров, которые продемонстрировали изменение тренда на 70 минут позднее конца C239a и длиной ровно в 1 час, см. рисунок 22. Обычно такого рода всплески за пределами времени включения генераторов относятся к помехам и игнорируются. Однако очень малое изменение температуры – 0.003° – никак не может быть объяснено локальными причинами, поскольку университет и лаборатория закрыты ночью. Некоторые исследователи указывали на возможность получения эхо-сигналов при сверхдальних взаимодействиях. Температурные сенсоры также известны своей чувствительностью к неэлектро-

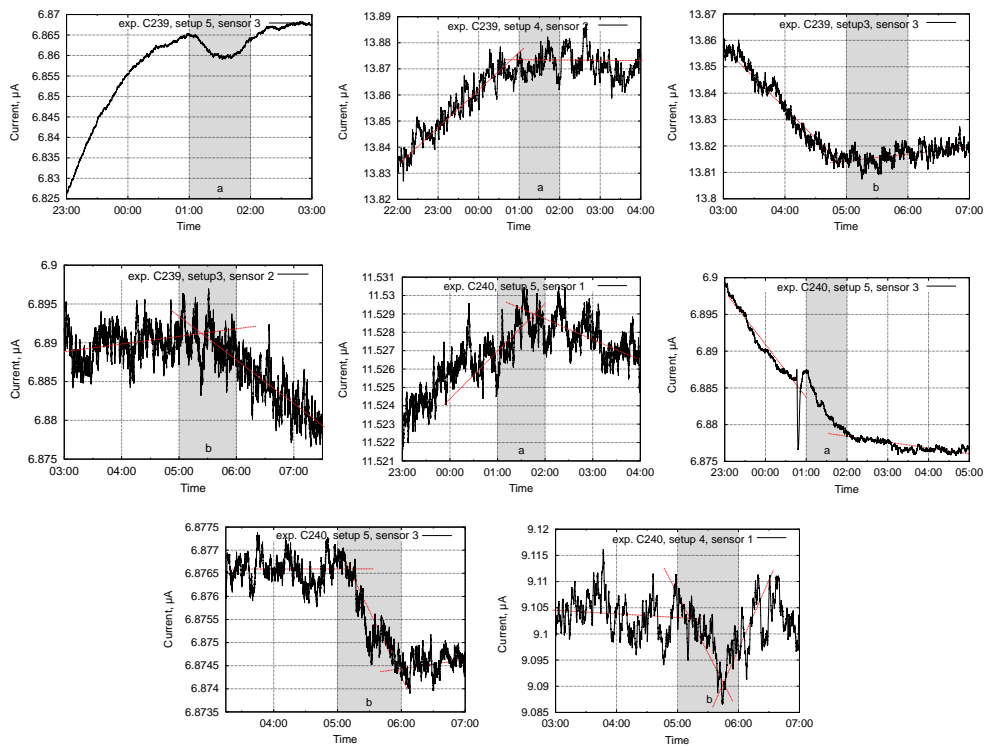


Рис. 21: Отклики некоторых сенсоров для экспериментов C239 и C240.

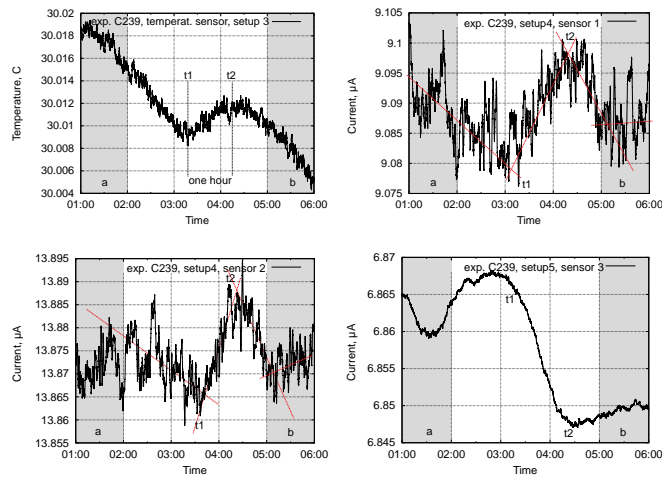


Рис. 22: Всплески некоторых температурных и токовых сенсоров 70 минут позднее C239a длиной в один час.

магнитным воздействиям. Поэтому мы протоколируем данную аномальность, однако не делаем при этом никаких дальнейших выводов.

4 Обзор экспериментов типа 'оператор-прибор'

Эксперименты с операторами проводились на малых расстояниях (до 10 метров), на расстоянии в 1.65 км (в Штутгарте) и 2105 км (Штутгарт - Донецк). Работали две группы операторов, которые не являются профессиональными экстрасенсами. Результаты полученные на малых расстояниях были отброшены, поскольку оператор мог влиять на датчики тепловым или сверхслабым излучением человеческого тела [23]. Для общего обзора, результаты всех экспериментов собраны в таблице 2.

Таблица 2: Результаты операторных экспериментов.

<i>N</i>	рас- стояние, км	длитель- ность, мин	адре- сация	менталь- ное воздей- ствие	всего экспе- римен- тов	всего сенсо- ров	всего реак- ции T2	отсут- ствие реак- ции	приме- чания
B11	0.5-1м	15	нет	да	1	1	1	0	
B17b	0.5-1м	25	нет	да	1	1	1	0	
B72, B73	0.5-1м	35	нет	да	1	6	4	2	
B80, B81	0.5-1м	30	нет	да	1	6	2	4	
B98	0.5-1м	40	нет	да	1	6	2	4	
B99, B100	0.5-1м	30	нет	да	1	6	3	3	
B17a	3-5м	25	нет	да	1	3	1	2	
B22	3-5м	30	нет	да	1	3	3	0	
B32	3-5м	30	нет	да	1	3	1	3	
B39	3-5м	40	нет	да	1	3	3	0	
B41a,b	3-5м	40	нет	да	1	6	2	4	
B70, B71	3-5м	40	нет	да	1	6	3	3	
B74, B75	3-5м	45	нет	да	1	6	2	4	
B76, B77	3-5м	60	нет	да	1	6	3	3	
B78, B79	3-5м	60	нет	да	1	6	2	4	
B82, B83	10м	45	нет	да	1	6	0	6	
B101, B102	10м	40	нет	да	1	6	3	3	
B191	1.65км	65	нет	да	1	3	2	1	
B208	1.65км	40	нет	да	1	9	6	3	20.07.12
B209	1.65км	10	нет	да	1	6	2	4	21.07.12
B222	1.65км	40	нет	да	1	9	4	5	
C245	2105км	100	нет	да	1	9	6	3	21.08.12
C246	2105км	40	нет	да	1	9	4	5	22.08.12
—	—	—	—	—	—	—	—	—	23.08.12 ¹
C248	2105км	50	нет	да	1	9	6	3	24.08.12
—	—	—	—	—	—	—	—	—	25.08.12 ²
C251	2105км	30	да	да	1	9	3	6	26.08.12
всего									

¹ Эксперимент не получился по субъективным причинам.

² Контрольный эксперимент по стороны Донецка.

По словам операторов, датчик реагировал как на целенаправленное

воздействие на прибор, так и в целом на интенсивность энергетического состояния оператора. Имеет значение не только интенсивность и длительность эмоционального воздействия. Операторы физически (кинестетически) чувствуют контакт. Более того, эмоциональный фон играет большую роль. Чем выше уровень эмоций, тем сильнее и быстрее реакция прибора. Операторы подтверждают необходимость 'возбужденного' энергетического состояния. 'Успокоенное' состояние не производит эффекта. Также, простое ментальное представление не имеет воздействия на датчик.

По их словам, они входят в 'энергетическое' тело и чувствуют четкий кинестетический эффект от прикосновений. Некоторые операторы описывали ощущение отделения 'энергетической руки' от физической руки. Это разделение вызывает ощущение покалывания, холода, небольшого 'виртуального онемения' или даже 'ощущение жжения' в месте 'контакта с кожей'. Операторы также иногда описывали чувство тяжести в голове во время и после эксперимента. Физическая усталость имеет большое влияние на протекание экспериментов – датчики практически не реагируют на оператора, если он устал ментально или же физически.

Большое значение имеет и уровень концентрации, наблюдение на кривыми служит для обратной связи для оператора, однако снижает концентрацию. Каждый раз после расконцентрирования, операторы отмечали снижения уровня отклика прибора. Наиболее удачным являлся анализ кривых после сеанса воздействия.

4.1 Расстояние 0.2-1 и 3-10 метров

При подготовке работ [1], [2] и [3] проводились предварительные эксперименты, посвященные воздействию психоэмоционального состояния человека на приборы. Было проделано два типа экспериментов. В одном, разработчики приборов фиксировали те случаи, когда их состояние непреднамеренно влияло на сенсоры. Это отражало чисто субъективное ощущение, без какой либо методики. В втором, воздействие операторами из группы chaosWatcher³ было преднамеренное. Эта группа высказала идею разработки специальной методики развития экстрасенсорных способностей с помощью приборов.

Эти опыты показали потенциальную возможность влияния оператора на приборы на коротких расстояниях 0.2-1 метр и 3-10 метров. В этих экспериментах, человек находился в непосредственной близости от сенсоров или в соседней комнате, и получал обратную связь в виде графиков, на экране портативного компьютера. Обзор полученных результатов показан в таблице 2.

Однако, мы усомнились в полученных результатах. На малых рас-

³chaos_watcher@yahoo.com

стояниях присутствуют другие факторы, например температурное или сверхслабое излучение человеческого тела [23], которое вносят недостоверность в результаты экспериментов. По договоренности с группой операторов, мы прекратили эти эксперименты и перенесли сенсоры на расстояние в 1650 метров. В дальнейшем мы не рассматриваем полученные результаты как достоверные и поэтому не приводим кривые токовых сенсоров. Данные в таблице 2 отражают только сам факт проведения этих экспериментов.

4.2 Расстояние 1.65 км

Эти эксперименты являются непосредственным продолжением экспериментов на расстоянии 10 метров. В их проведении участвовала только группа chaosWatcher. Операторы были проведены в университетскую лабораторию, ознакомлены со зданием и устройством приборов. Таким образом, они имели отчетливое представление о работе сенсоров и их положении. Группа описывает свое воздействие на сенсоры, как 'проекции сознания'. Эта техника связана с достижением глубокого трансового состояния и переноса своего сознания в место проведения экспериментов. Длительность сеансов порядка 30-40 минут, подготовка к эксперименту со стороны операторов занимает порядка 15-20 минут. Таким образом, общее время эксперимента около часа, что соответствует длительности приборных экспериментов. В некоторых экспериментах, экстрасенсы предварительно настраивались по фотографии. Эксперименты были проведены летом и осенью 2012 года.

Обзор этих экспериментов дан в таблице 2. Эксперименты проводились поздно вечером, в районе 23.00 или же в утренние часы, порядка 6.00. В силу большой занятости операторов, решение о проведении эксперимента принималось в тот же день, и все остальные эксперименты с сенсорами просто откладывались. Поскольку операторы разрабатывали свою методику тренировки ментальных способностей, не все эксперименты были удачными. После обсуждения в группе, было решено фиксировать только удачные эксперименты, при том условии, что будет подготовлена отдельная работа, посвященная разрабатываемой методике. Со своей стороны мы оцениваем количество удачных к неудачным экспериментам как один к трем.

Эксперимент В191, проведен оператором '1' в вечерние часы. Около 21.45 оператор начал настраиваться на воздействие, 22.50 воздействие было закончено. Поскольку на тот момент только установка номер пять была в рабочем состоянии (остальные на профилактике), видна реакция только двух датчиков на воздействие. В этом эксперименте первый раз была получена сильная психокинетическая реакция, которая вызывает большой скачок тока в сенсоре, релаксирующий в течении нескольких часов.

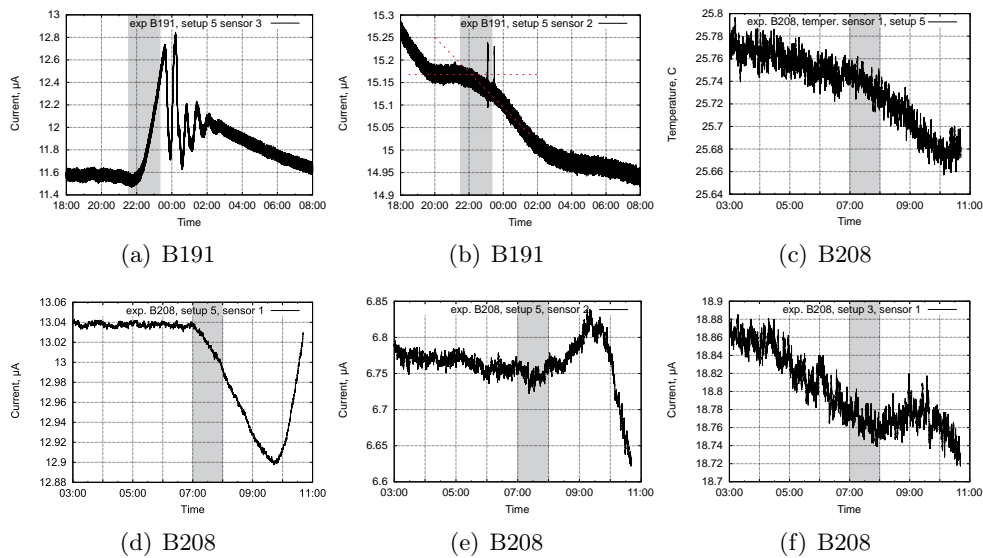


Рис. 23: Эксперименты V191 и B208.

Эксперимент B208 был проведен оператором '1' в утренние часы. Около 7.00 оператор начал настраивался на воздействие, само воздействие с 7.20 до 7.45, с 7.45 до 8.00. Отчетливо видна реакция шести всех датчиков на воздействие. Нужно заметить, что в утреннее время происходит небольшая температурная дестабилизация, что усиливает реакцию сенсоров. В этом случае мы также наблюдали две реакции T1, которые характерны для коротких расстояний.

Эксперимент B209 был проведен оператором '2' в ночные часы, около 2.00, короткий сеанс длительностью около 10 минут. Как сказал сам оператор, ночью у него появилось 'желание' оказать воздействие на сенсоры, поэтому сеанс получился очень коротким. Температурные датчики не показывают никаких аномалий.

Эксперимент B222 был проведен оператором '1' в утренние часы, около 6.00 длительностью около 40 минут. Время воздействие было выбрано еще до утренней дестабилизации температуры, отмечается реакция 4х сенсоров из 9.

Как и во всех других экспериментах, мы показываем на рисунках 23 и 24 три лучших отклика сенсоров. В случае меньшего количества работающих установок, показываются данные со всех сенсоров показавших реакцию.

4.3 Расстояние 2105 км

Эти эксперименты находились в русле вышеописанных психометрических операторных взаимодействий с группой chaosWatcher. Иными сло-

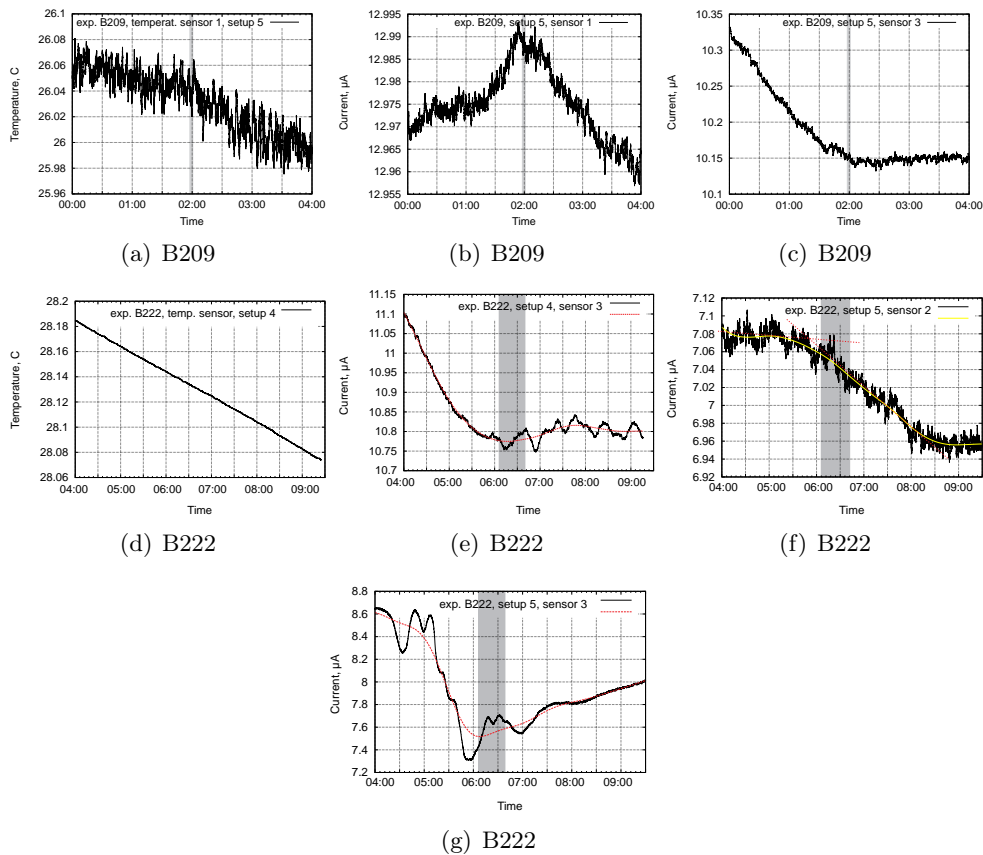


Рис. 24: Эксперименты B209 и B222.

вами ставилась задача использования сенсоров (а) для проверки, и таким образом 'объективизации', субъективных ощущений во время медитационных практик и (б) тренировки и развития психометрических и психокинетических способностей различных индивидуумов с помощью обратной связи от приборов. Расстояние между Штутгартом и Донецком 2105 км. Поскольку группа MSU⁴ включала в себя большее количество членов, было интересно исследовать возникающие коллективные эффекты. Была зарезервирована одна неделя с 21 по 26 августа 2012 для сеансов воздействия с помощью различных форм проекций сознания.

Поскольку никто из этой группы не был в Штутгарте, адресация воздействия производилась следующим способом: были изготовлены и пересланы фотографии внешнего и внутреннего вида сенсоров, места их нахождения и короткое описание принципа действия. Была проведена видео конференция, во время которой разработчик приборов ответил на вопросы и через видеокамеру продемонстрировал здание университета,

⁴contact@magic-su.net

коридоры вокруг лаборатории и, коротко, саму лабораторию. Методология проведения эксперимента заключалась в том, что члены группы MSU договаривались между собой о времени сеанса, не информируя об этом Штутгарт. Утром, после сеанса, время воздействия сообщалась группе в Штутгарте для генерации графиков, после чего графики всех сенсоров отправлялись в Донецк. Анализ воздействия производился как в Штутгарте на основании полученных времен воздействия, так и в Донецке на основании полученных графиков и собственного опыта во время воздействия. Для воздействий 24 и 25 августа, времена воздействия не сообщались, группа в Штутгарте должна была распознать, когда и было ли вообще воздействие в Донецке.

Для анализа графиков применялась стандартная процедура, хорошо зарекомендовавшая себя в предыдущих экспериментах [2], [1]: длительность воздействия колебалась между 30 и 60 минутами, между воздействиями должно пройти как минимум 120 минут. Принималось во внимание изменение тренда токовых кривых только во время сеанса (± 15 минут). Рассматривались значения трех лучших откликов. Остальные изменения вне времени воздействия игнорировались.

Во время первого сеанса, эксперимент C245, один член группы отметил субъективное ощущение успешного влияния на сенсоры в период с 2.10 по 3.50 (до 4.00). Сенсоры продемонстрировали существенное изменение тренда в районе 1.50-3.00, см. рисунок 25.

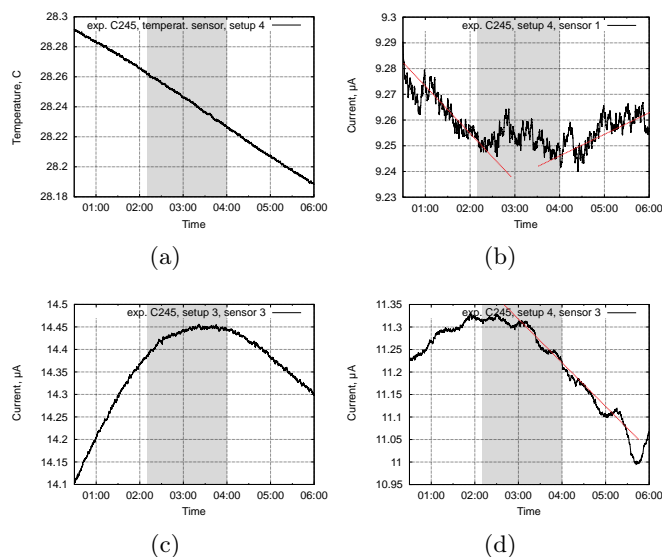


Рис. 25: Эксперимент C245, показания (a) температурного сенсора, (b-d) токовых сенсоров.

Помимо основного изменения в этом диапазоне были отмечены некоторые всплески токовых кривых также и позже. Более того, характер-

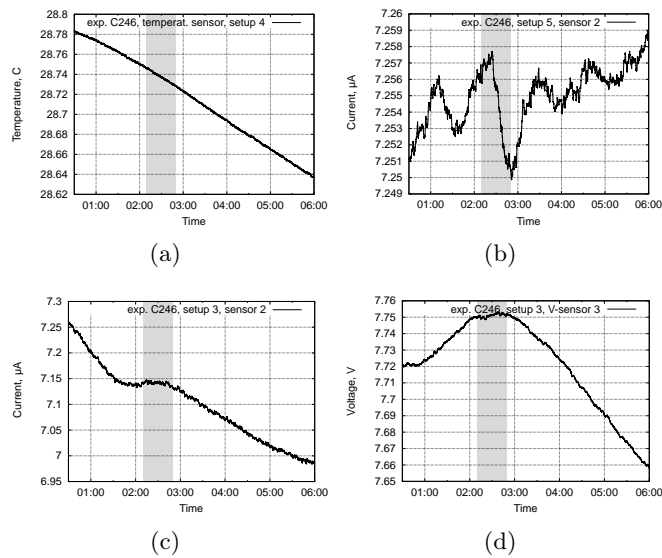


Рис. 26: Эксперимент C246, показания (a) температурного сенсора, (b-d) токовых сенсоров.

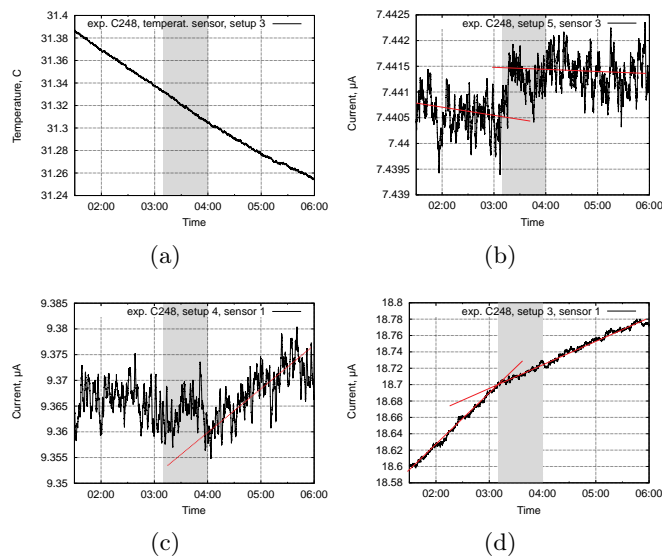


Рис. 27: Эксперимент C248, показания (a) температурного сенсора, (b-d) токовых сенсоров.

ные для приборных взаимодействий 'точные времена' воздействия получились несколько размытыми в случае коллективного воздействия. Это было отнесено на счет десинхронизации в группе. Было так же оговорено, что различные формы проекции сознания могут быть использованы для воздействия. В целом 6 из 9 сенсоров продемонстрировали реакцию

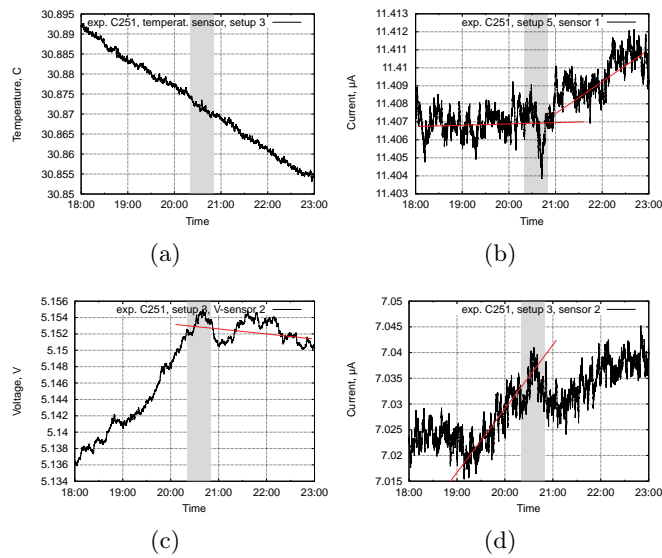


Рис. 28: Эксперимент C251, показания (a) температурного сенсора, (b-d) токовых сенсоров.

в указанном диапазоне времени.

Во время второго сеанса, эксперимент C246, было условлено, что группа выберет общее время для воздействия. Как минимум один член группы отметил субъективное ощущение успешного влияния на сенсоры в период с 2.33 (± 20 минут). Сенсоры продемонстрировали существенное изменение тренда в этом районе, см. рисунок 26. Пока что не понятно, было ли это коллективным или же индивидуальным воздействием. В целом 4 токовых и 2 вольтовых сенсора показали реакцию в указанном диапазоне времени.

Третьем воздействие, 23 августа, к сожалению не получилось. Пока не понятно, является ли причиной этому возможная усталость в группе или же работающий светодиодный генератор, который был по ошибке не отключен после дневных экспериментов. В целом, применение генератора совместно с психометрическими экспериментами имеет положительный опыт для синхронизации и усиления воздействия.

После этих экспериментов была изменена стратегия. На основании полученных кривых от приборов, Штутгарская группа должна была высказать предположение о воздействии, после чего Донецкая группа подтверждала или же отвергала это предположение. Для 24 августа были высказаны два предположения: с 1.00 до 2.00 с 6 изменениями и с 3.00 по 4.00 с 5 изменениями показаний сенсоров. Второе предположение были правильным, воздействие было с 3.10 по 4.00. Результаты этого эксперимента C248 показаны на рисунке 27 в целом 6 из 9 токовых сенсоров показали изменения тренда в указанное время.

Для эксперимента 25 августа было высказано предположение о времени воздействия 1.30-2.00. Это оказалось неверным, поскольку этот день был запланирован Донецкой группой как контрольный эксперимент без воздействий. Пока не понятна причина множественных и почти синхронных изменений поведения сенсоров 24.08 в 1.00-2.00 и 25.08 в 1.30-2.00. Бросается в глаза почти одно и то же время этих изменений, высказывается предположение о влиянии предыдущих экспериментов, либо же сенсоры регистрировали некоторое иное влияние, например фоновое излучение. В этой связи стоит вопрос и по-возможности более точного установления времени воздействия и доверительного интервала для его оценки.

Для последнего эксперимента 26.08 было принято решение о совместном воздействии двух групп с общей синхронизации в виде символа, который модулирует сигнал светодиодного генератора, см, рисунок 29. Обе группы настраивались на этот символ, для проекции сознания ис-

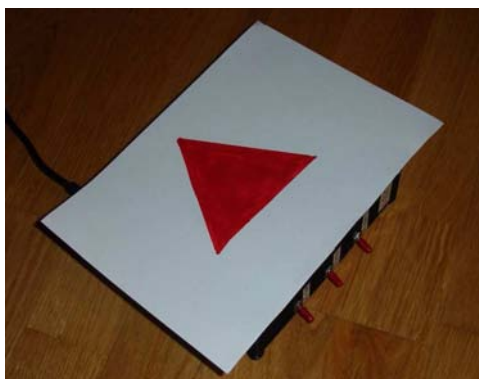


Рис. 29: Символ использованный в эксперименте С251 для синхронизации обеих групп.

пользовалась техника скраинга. Обе группы также намеревались 'почувствовать присутствие друг друга', как минимум определить количество участвующих человек. Сенсоры показали очень малые отклонения, из 9 сенсоров, только 3 (причем с некоторой натяжкой) могли бы оценены как имеющие некоторые изменения, см. рисунок 28. Также угол наклона и длительность изменения тренда значительно слабее, чем в предыдущих экспериментах. Однако поскольку три сенсора все-таки показали некоторые изменения, согласно методике анализа, этот эксперимент также оценивается как положительный, хотя и мы сразу оговариваемся, что это результаты очень слабые. Из субъективных ощущений обе группы отмечают присутствие друг друга и сигнала генератора.

Обзор проведенных экспериментов показан в таблице 2. Обобщая проведенные эксперименты со стороны Штутгартской группы, С245, С246 и С248 можно оценить однозначно как положительные. Времена сооб-

щенные группой из Донецка совпадали с реакцией сенсоров в это время. Более 50% сенсоров продемонстрировали существенные изменения поведения токовых кривых. Более того, если ограничить доверительный интервал для экспериментов, представляется возможным даже установить факт и время воздействия, не имея информации о самом воздействии. С другой стороны, фоновый шум из других источников и большой доверительный интервал могут полностью фальсифицировать возможность установления факта воздействия. Эксперимент С251 отличается более слабым откликом и, по-видимому, указывает на слабость методики воздействия или методики синхронизации, в отличие от предыдущих экспериментов. Представляется возможным, это используя генератор и сенсоры, методики экстрасенсорных воздействий, как психометрических, так и психокинетических, могут быть улучшены.

Нужно еще раз отметить и увеличенный шум сенсоров за пределами времени воздействия. Этот эффект не встречался ранее. Пока не понятно, является ли это эффектом десинхронизации воздействия, сенсоры накапливают определенный коллективный эффект памяти, или же эффектом фонового излучения. После этих экспериментов будут проведены новые контрольные замеры.

5 Заключение

В этой работе были продемонстрированы результаты проведенных экспериментов относительно установления связи типа 'прибор-прибор' и 'оператор-прибор' на значительных расстояниях между 'приемником' и 'передатчиком'. Из основных результатов нужно отметить следующие:

- анализируя результаты обоих типов воздействий в проведенных экспериментах, мы не можем отвергнуть гипотезу о возможности нелокальных взаимодействий. Принимая во внимание результаты статистического анализа (tbd), а также явную корреляцию между воздействием на сенсоры и реакцией сенсоров, мы отвергаем нулевую гипотезу о случайном характере результатов.
- в обоих случаях 'прибор-прибор' и 'оператор-прибор' воздействий использовались одни и те же сенсоры. Хотя для операторных взаимодействий отмечались в некоторых случаях более сильные отклики, в целом реакция сенсоров была сходной как в случае приборных, так и в случае операторных воздействий. Это наводит на мысль о том, что оба типа воздействий имеет сходную природу.
- используемые датчики на ДЭС, по сравнению с известными конденсаторными, емкостными и потенциальными сенсорами [24], [25], имеют наибольшую чувствительность. Хотя работа с ними достаточно сложна из-за необходимости температурной, вибрационной

и ЭМ изоляции, именно их высокая чувствительность позволила получить большое количество положительных результатов. Очевидно, что при использовании улучшенных и более компактных схемотехнических решений, может получиться прибор удобный в использовании для более критических приложений.

- используемые методы адресации вызывают вопросы. Без использования адресации, с разными типами приборов не работавших до этого вместе, установить связь не удастся. Множественные эксперименты показали это достаточно четко. При разделении приборов, работавших вместе, удается поддерживать связь порядка трех недель. С адресацией в виде одной или двух фотографий, связь в экспериментах 'прибор-прибор' устанавливается достаточно быстро.
- при увеличении интенсивности воздействия, например при одновременном воздействии нескольких групп операторов, при использовании генераторов и операторов, мы не всегда наблюдаем увеличение реакции сенсоров. С другой стороны, в работе [2] мы наблюдали эффект, когда рассинхронизация нескольких генераторов вела в лучшему отклику. На данный момент мы не можем высказать гипотезы о том, почему изменение параметров передающей стороны вызывают или не вызывают изменение отклика сенсоров.

Из критических соображений нужно отметить, что для анализа реакции сенсоров нужно знать время воздействия. Иными словами, экспериментатор интерпретирует показания, зная о факте воздействия. Из трех попыток установить факт воздействия не имея априорной информации о нем, только в одном случае удалось успешно обозначить время воздействия. Причиной для этого является наличие скореллированных помех из неизвестного источника, на которые реагируют одновременно несколько сенсоров. В работе [3] высказывалась мысль о том, что генераторы и операторы представляют собой не единственный источник неэлектромагнитного излучения. На основе анализа тренда в виде первой и второй производных, а также корреляционного анализа, необходимо разработать автоматизированную процедуру, позволяющую определять воздействия.

Во-вторых, неоднократно высказывалась мысль о том, что в экспериментах 'прибор-прибор' именно экспериментатор, сознательно или подсознательно, является источником воздействия. Если обратить внимание на рисунок 8, можно наблюдать модуляцию сигнала в течении 24 часов с периодом в 4 часа. Хотя мы не можем полностью отвергнуть идею влияния экспериментатора на ход эксперимента, столь регулярная модуляция сигнала наводит на мысль о приборном источнике воздействия. С другой стороны, в экспериментах, когда одновременно и оператор и

прибор воздействовали на сенсоры, мы отмечали более существенную реакцию сенсоров. Очевидно, что экспериментатор может потенциально 'улучшать' результаты, поэтому для чистоты экспериментов 'прибор-прибор' нужно выводить экспериментатора за пределы эксперимента. Это можно достигнуть, например, путем случайных времен включения генераторов.

В третьих, используемая конфигурация сенсоров обладает малым быстродействием. Для уверенного распознавания сигнала использовался период модуляции в 4 часа. Более того, иногда сенсор реагирует на передний, иногда на задний фронт окна синхронизации, т.е. на включение или на выключение генератора. Этот механизм также не полностью понят. Однако сам факт мгновенной реакции заставляет предположить, что быстродействие сенсоров определяется не столько инерционностью двойного электрического слоя, сколько методом регистрации сигнала на фоне шума и может быть радикально улучшен. Однако даже в этой конфигурации, мы видим два очень четких применения данной технологии – это прибор для тренировки различных экстрасенсорных способностей путем предоставления объективной обратной связи. В технической области, очень перспективным является применение сенсоров для аварийной коммуникации, например, при потери основного питания (оптический генератор, используемый в экспериментах Штутгарт-Перт имел оптическую мощность всего лишь 1 милливатт), на сверхдальних расстояниях или же в подводных средах, где нормальная связь невозможна.

Завершая всю серию работ [1], [2] и [3], нам представляется, что дальнейшее развитие 'неэлектромагнитных технологий' с использованием глубоко поляризованных электродов представляется очень перспективным направлением в виду высокой чувствительности этих сенсоров. Автоматизация распознавания реакции сенсоров и новая схемотехника должны скомпенсировать их недостатки. Благодаря этому инструменту возможно проведение совершенно новых биологических, технологический и гибридных экспериментов. Это представляет фронт будущих работ.

Список литературы

- [1] S. Kernbach. Replication attempt: Measuring water conductivity with polarized electrodes. *Journal of scientific exploration (submitted)*, 2012.
- [2] Serge Kernbach. On high-penetrating leds emission on short and middle ranges. In *Proc. of the Conf. Torsion fields and Information Interactions*, pages 98–114. Moscow, 2012.
- [3] С. Кернбах. Исследование Проникающей Способности Светодиодного и Лазерного Излучения. *Информационные технологии (направлено в журнал)*, 2012.

- [4] J. Lyklema. *Fundamentals of Interface and Colloid Science*. Academic Press, 2005.
- [5] M. L. Belaya, M. V. Feigel'man, and V. G. Levadnyii. Structural forces as a result of nonlocal water polarizability. *Langmuir*, 3(5):648–654, 1987.
- [6] H. Stenschke. Polarization of water in the metal/electrolyte interface. *Journal of Electroanalytical Chemistry and Interfacial Electrochemistry*, 196(2):261 – 274, 1985.
- [7] David W. R. Gruen and Stjepan Marcelja. Spatially varying polarization in water. a model for the electric double layer and the hydration force. *J. Chem. Soc., Faraday Trans. 2*, 79:225–242, 1983.
- [8] F. Spillner. Vier-elektroden-konduktometrische analyse (4-ek-analyse). *Chemie Ingenieur Technik*, 29(1):24–27, 1957.
- [9] D. Kirkham and G.S. Taylor. Some tests of a four-electrode probe for soil moisture measurement. *Soil Sci. Soc. Am. Proc.*, 14:42–46, 1949.
- [10] Keith L. Bristow, Gerard J. Kluitenberg, Chris J. Goding, and Terry S. Fitzgerald. A small multi-needle probe for measuring soil thermal properties, water content and electrical conductivity. *Computers and Electronics in Agriculture*, 31(3):265 – 280, 2001.
- [11] Orion conductivity theory, orion products - the technical edge. Technical report.
- [12] А.В. Бобров. Взаимодействие спиновых полей материальных объектов (A.V. Bobrov, Interaction between spin fields of material objects). In *Материалы международной научной конференции. Хоста, Сочи, 25-29 августа*, pages 76–86, 2009.
- [13] А.В. Бобров. *Модельное Исследование Полевой Концепции Механизма Сознания (A.V. Bobrov, Investigating a field concept of consciousness)*. Орел, ОрелГТУ, 2006.
- [14] В.П. Перов. Постановка исследований наличия связи между сенсорно-разобщенными биообъектами. В сб.: *Красногорская Н.В. (ред.). Электромагнитные поля в биосфере*, (т.1):362, 1984.
- [15] Л.Л. Васильев. *Экспериментальные исследования мысленного внушения*. ЛГУ, 1962.
- [16] R. Janhn, B. Dunne, G. Bradish, Y. Dobyns, A. Lettieri, R. Nelson, J. Mischo, E. Boller, H. Boesch, D. Vaitl, J. Houtkooper, and B. Walter. Mind/machine interaction consortium: Portreg replication experiments. *Journal of Scientific Exploration*, (14(4)):499–555, 2000.
- [17] Г.Н. Дульнев and А.П. Ипатов. *Исследования явлений энергоинформационного обмена: экспериментальные результаты*. ГИТМО, Санкт-Петербург, 1998.
- [18] E.C. May. Review of the department of defense's star gate program: A commentary. *The Journal of Parapsychology*, (60):3–23, 1996.
- [19] H.E. Puthoff. Cia-initiated remote viewing at stanford research institute. *Journal of Scientific Exploration*, (10(1)):63–76., 1996.

- [20] S.J. Blackmore and F. Chamberlain. Esp and thought concordance in twins: A method of comparison. *Journal of the Society for Psychical Research*, (59):89–96, 1993.
- [21] Diane Hennacy Powell. *The ESP Enigma: The Scientific Case for Psychic Phenomena*. Walker & Company, 2008.
- [22] Виталий Замша Исследовательская группа MSU. Исследование влияния торсионных полей на структуру воды методом ядерно-магнитного резонанса.
- [23] Masaki Kobayashi, Daisuke Kikuchi, and Hitoshi Okamura. Imaging of ultraweak spontaneous photon emission from human body displaying diurnal rhythm. *PLoS ONE*, 4(7):e6256, 07 2009.
- [24] Замша В.В. and Шкатов В.Т. О возможном способе сверхдальней передачи аварийного сигнала в экстремальных и чрезвычайных ситуациях. *сборник УГАТУ Безопасность 2012*, page 128, 2012.
- [25] Шкатов В.Т. and Замша В.В. Эксперименты по межконтинентальной тонкополевой связи (ТПС) и управлению между городами Перт (Австралия) и Томск (Россия). *Торсионные поля и информационные взаимодействия - 2012, материалы конференции*, page 115, 2012.